

# مقایسه‌ی رفتار تونل‌های قطعه‌یی در گسلش عادی و معکوس با استفاده از مدل‌سازی در سانتریفیوژ ژئوتکنیکی

مهمنشی عمارت شرف، (ایران ۱۳۹۶) ۴۷-۴۹، ص. ۱/۲، شماره ۱، ۳-۴، دوری ۳

مجید کیانی استیار<sup>\*</sup> (دکتری)

توحید اخلاقی (دانشیار)

دانشکده‌ی مهندسی عمران، دانشگاه تبریز

عباس فلیندرزاده (دانشیار)

دانشکده‌ی مهندسی عمران، پردیس دانشکده‌های فنی، دانشگاه تهران

تأثیر گسلش در تونل‌ها، کمتر مورد مطالعه و پژوهش قرار گرفته است. افزایش نیاز به تونل و استفاده از روش حفاری تمام‌مکانیزه تونل موجب شده است که برای پژوهش تونل از پوشش‌های قطعه‌یی استفاده شود. گسلش یکی از تغییرشکل‌های بزرگ و دائمی زمین است، که می‌تواند خساره‌های را به سازه‌های در معرض آن وارد کند. برخورد تونل‌ها با گسل به چهت خطی بودن آنها محتمل است. در نوشتار حاضر، ضمن معرفی مدل‌سازی پدیده‌ی گسلش زمین و تونل قطعه‌یی حفرشده در خاک، رفتار تونل‌های مذکور به طور کیفی در گسلش عادی و معکوس مقایسه شده است. برای این منظور از مدل‌سازی فیزیکی در سانتریفیوژ ژئوتکنیکی استفاده شده است. نتایج تعدادی از آزمایش‌های گسلش شیب‌لغز عادی و معکوس با تونل قطعه‌یی ارائه شده است. در گسلش عادی ریزش خاک به درون تونل به دلیل بازشدگی حلقه‌ها و ایجاد فروچاله در سطح زمین مشاهده شده است. در گسلش معکوس فقط تغییرات طولی در تونل و سطح زمین مشاهده شده است.

kiani@tabrizu.ac.ir  
takhlaghi@tabrizu.ac.ir  
aghaland@ut.ac.ir

واژگان کلیدی: مدل‌سازی فیزیکی، تونل قطعه‌یی، گسل معکوس، گسل عادی، سانتریفیوژ ژئوتکنیکی.

## ۱. مقدمه

توسعه‌ی جامع امروزی، نیاز به تونل در بخش‌های مختلف اعم از حمل و نقل عمومی شهری، ترابری بین شهری، و شبکه‌های جمع‌آوری، و انتقال آب و فاضلاب و... را موجب شده است. پیش‌بینی کارشناسان در ایران، نیاز به ساخت تونل‌های جدید شامل تونل‌های تبریز و آب در حدود ۳۰۰۰ کیلومتر است. مرتفع‌کردن نیاز ذکر شده با روش‌های سنتی حفاری تونل، مشکل و زمان‌بر است. پیشرفت‌های اخیر در صنعت تونل‌سازی در دنیا، بیان‌گر سرعت در اجراء و کیفیت مطلوب پژوهه‌های حفاری مکانیزه‌ی تونل نسبت به روش‌های سنتی حفاری تونل است.<sup>[۱]</sup> ایران به عنوان یکی از مناطق لرزه‌خیز دنیا، پتانسیل بالایی برای وقوع گسلش‌های سطحی دارد. برای مثال، گسل شمال تبریز به عنوان مهم‌ترین و بزرگ‌ترین گسل شمال غرب ایران است، که براساس مطالعات صورت‌گرفته مشخص شده است، که این گسل در داخل ایران طولی در حدود ۲۰۰ کیلومتر دارد.<sup>[۲]</sup> امروزه به علت توسعه‌ی شهر تبریز، گسل مذکور از میان شهرک‌های تازه تأسیس شمال شهر عبور و حتی مسیر تونل خط

## ۲. گسلش و تونل

اغلب تونل‌ها را می‌توان جزء شریان‌های حیاتی لحاظ کرد. در پژوهشی در سال

تاریخ: دریافت ۱۸/۱۲/۱۳۹۳، اصلاحیه ۷/۱۳۹۴، پذیرش ۴/۸/۱۳۹۴.

\* نویسنده مسئول



شکل ۲. تصویری از مقطع گسل شیب لغز معکوس در موزه‌ی گسل کوبه‌ی ژاپن.<sup>[۱]</sup>



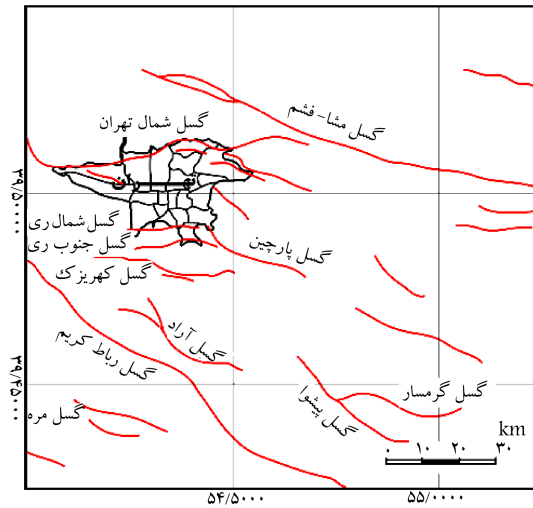
شکل ۳. گسل به.<sup>[۱۲]</sup>

سان آزیاس<sup>۳</sup> موجب تخریب و برهم خوردگی وضعیت بسیاری از راه‌ها، حصارها، خطوط لوله، بل و تونل‌ها در امتداد گسل شده است. پهنه‌ی منطقه‌ی شکستگی در این مورد از چند ۱۰ سانتی‌متر تا بیش از ۱۵ متر متغیر بوده و ترک‌های زیادی نیز در دو طرف گسل اصلی تا شعاع چند ۱۰ متری ایجاد شده است. مقدار جابه‌جایی افقی با آنچه توسط جابه‌جایی حصارها و راه‌ها قابل اندازه‌گیری بوده است، از ۲/۵ متر تا ۴/۵ متر متغیر بوده است؛ که در بعضی نقاط به ۶/۵ متر هم رسیده است.

— زلزله‌ی سان فرناندو<sup>۴</sup> (۱۹۷۱): نوع گسل در زلزله‌ی سان فرناندو، شیب لغز معکوس بوده است. گسلشن در ناحیه‌ی به وسعت ۱۵ کیلومتر ایجاد شده و با حرکات لغزشی معکوس و امتداد لغز چپ‌گرد همراه بوده است. در ناحیه‌ی سان فرناندو، منطقه‌ی جابه‌جایی به صورت چپ‌گرد ۱/۹ متر و به صورت شیب لغز ۱/۵ متر بوده است. اختلاف سطح عمودی حاصل برابر با ۱/۳۹ متر بوده است.

— زلزله‌ی کوبه‌ی ژاپن<sup>۵</sup> (۱۹۹۵): با بزرگای ۷/۲، گسل نوجیما<sup>۶</sup> در جهت قائم ۱/۳ متر و در جهت افقی ۱/۸ متر جابه‌جا شده است. شکل ۲، که مربوط به موزه‌ی گسل کوبه‌ی ژاپن است، تصویری از موقعیت فرادیواره<sup>۷</sup> و فرودیواره<sup>۸</sup> یک گسل معکوس را به‌وضوح نشان می‌دهد.<sup>[۱۰]</sup> شکل ۳، مربوط به گسل به است، که در سال ۲۰۰۳ تهیه شده است.<sup>[۱۱]</sup>

در زلزله‌های ایران نیز جابه‌جایی‌های قابل توجهی در گسل‌ها در برخی از زلزله‌های بزرگ مشاهده شده است، که خلاصه‌ی از آن‌ها در جدول ۱ ارائه شده است.



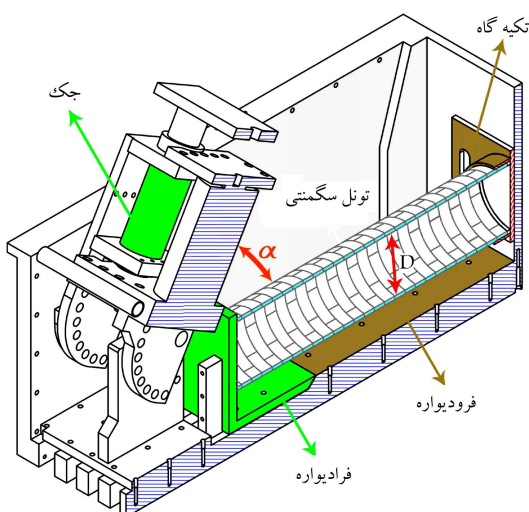
شکل ۱. موقعیت گسل‌های اطراف شهر تهران.

۱۹۹۹، که توسط ان‌آی‌بی‌اس<sup>۱</sup> ایلات متحده تهیه شده است، تونل جزء سیستم شریان حیاتی بزرگراه‌ها و راه‌آهن طبقه‌بندی شده است.<sup>[۱۳]</sup> پدیده‌ی گسلشن می‌تواند در موقع زلزله، خسارت‌هایی را به سازه‌های زیرزمینی و به خصوص سازه‌های طویل زیرزمینی وارد کند. جابه‌جایی برشی در یک پهنه‌ی باریک در دو طرف گسل، آثار تخریبی شدیدی در سازه‌های زیرزمینی خواهد داشت. تنش‌های حاصل از گسلشن در مقاطع تونل یا سایر سازه‌های زیرزمینی می‌تواند به مراتب از تنش‌های حاصل از لرزش و لغزش بیشتر باشد. براساس روش‌های طراحی موجود و فقدان شناخت کافی از رفتار سازه‌های زیرزمینی، طراحی تونل‌ها به‌نحوی که بتوانند در برابر جابه‌جایی‌های چند سانتی‌متری تا چند متری ناشی از گسلشن مقاومت کنند، نیاز از نظر اقتصادی مقرر نیست؛ بدین لحاظ مطالعه‌ی خطر گسلشن در مسیر یک تونل و یا سایر سازه‌های زیرزمینی، اهمیت خاصی دارد.<sup>[۱۴]</sup> طراحی پوشش تونل‌های قطعه‌ی نیز در شرایطی که نیروهای مازاد ناشی از گسلشن به تونل وارد می‌شود، از دیگر مسائلی است که ناشناخته باقیمانده است و می‌تواند تأثیر اساسی در طراحی پوشش تونل ایجاد کند.

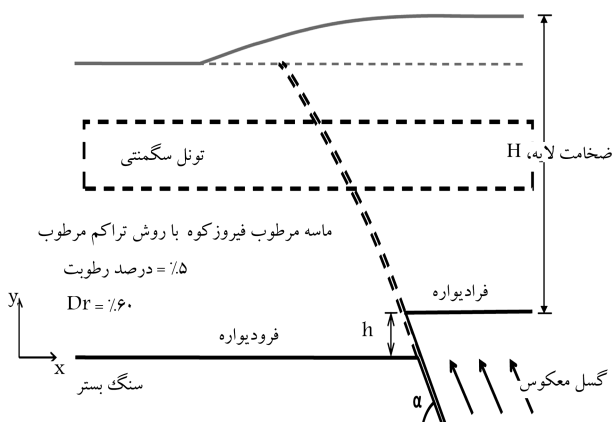
به‌طور کالی سیاری از تونل‌ها در طول مسیر خود از نواحی گسل عبور می‌کنند، که این امر باعث آسیب‌پذیری آنها در اثر لغزش گسل می‌شود. به همین جهت در حین بررسی‌های ساختگاه برای طراحی و ساخت تونل باید به وجود گسل‌ها توجه کاهش میزان خدمات ناشی از گسلشن انجام داد.<sup>[۱۵]</sup> همچنین تأثیر گسلشن در کاربری طرح باید به دقت مشخص شود. مثلاً در تونل‌های راه‌آهن حساسیت زیادی در برابر جابه‌جایی وجود دارد، زیرا امکان قطع شدن ریل‌ها با مختل شدن گسل‌ها در آن‌ها به‌واسطه‌ی جابه‌جایی حاصل از گسلشن وجود دارد و این امر می‌تواند حوادث ناگواری را به وجود آورد. در مقابل، در تونل‌های انتقال آب حتی اگر جابه‌جایی قابل توجهی نیز رخ دهد، خطر جانبی به همراه نخواهد داشت و سیستم انتقال آب نیز می‌تواند با مقداری تفاوت دبی به کار خود ادامه دهد.

هر چند در بیشتر مواقع در هنگام زلزله، جابه‌جایی گسل‌ها در حد چند ۱۰ سانتی‌متر هست، ولی در رویدادهای بزرگ لزه‌ی، این جابه‌جایی می‌تواند به چند متر نیز برسد. در ادامه، مثال‌هایی از برخی زلزله‌های مهم جهانی و داخلی جهت روشن شدن اهمیت گسلشن ارائه شده است:

— زلزله‌ی سان فرانسیسکو<sup>۹</sup> (۱۹۰۶): در زلزله‌ی سان فرانسیسکو، حرکت گسل



شکل ۴. تصویر مقطع سه بعدی جعبه‌ی شبیه‌ساز گسل مورد استفاده.



شکل ۵. تصویر شماتیک مدل در گسلش معکوس.

هر دو نوع گسلش، شبک لغز (عادی و معکوس) را در آزمایش‌ها اعمال کرد. کف این جعبه به گونه‌ی طراحی شده است که در اثر اعمال گسلش معکوس و عادی هیچ‌گونه فضایی برای خروج ماسه از جعبه ایجاد نشود. جنس جعبه از فولاد و الومینیم آلیاژی بوده و مخزن حاک به ابعاد ۷۰ سانتی‌متر طول، ۵۵ سانتی‌متر عرض، و ۴۰ سانتی‌متر عمق داشته است. برای یکی از دیواره‌های جعبه‌ی مذکور از پلاکسی‌گلاس استفاده شده است تا بتوان تغییرشکل‌های رخداده در اعماق مختلف در اثر گسلش را مشاهده کرد. همچنین در آن مکان‌های ویژه‌ی برای قرارگیری دوربین‌های ویژه‌ی عکس‌برداری و سایر حسگرهای اندازه‌گیری جایه‌جایی‌ها در سطح زمین تعیین و تصویر مقطوع سه‌بعدی آن در شکل ۴ آرائه شده است.

هندسه‌ی شماتیک مدل در گسلش معکوس در شکل ۵ و در گسلش عادی در شکل ۶ ارائه شده است. زاویه‌ی گسلش در شکل‌ها زاویه‌ی  $\alpha$  (زاویه‌ی گسل با افق) بوده است.

مهم‌ترین مسئله در مدل‌سازی فیزیکی، استفاده‌ی صحیح از قوانین مقایسه است. قوانین مقایسه، روابط تشابه بین مدل و مقایس واقعی را بیان می‌کند. روابط تشابه در مدل‌سازی فیزیکی در ساترپیوژ در منابع متعدد ارائه شده است.<sup>[۱۸]۷</sup>

جدول ۱. برخی از زلزله‌های مهم ایران در سال‌های ۱۹۰۰ تا ۱۹۸۰، که همراه با گسل‌شن قابل توجه بوده‌اند ( واحد اندازه‌ها، متر است).<sup>[۱۵]</sup>

تاریخ	نام رویداد	بزرگا	طول گمسel	جایه جایی قائم
۱۹۰۹/۱/۲۳	سیالخور	۷,۴	۴۵	۲,۵
۱۹۱۱/۴/۱۸	راور	۶,۲	۱۵	۰,۵
۱۹۲۹/۵/۱	کپه داغ	۷,۳	۷۰	۲,۱
۱۹۳۰/۵/۶	سلماس	۷,۲	۳۰	۶,۰
۱۹۴۱/۲/۱۶	محمد آباد	۶,۱	۱۰	۰,۵
۱۹۴۷/۹/۲۳	دشت آباد	۶,۸	۲۰	۰,۸
۱۹۴۷/۹/۱	بوئین زهرا	۷,۲	۸۰	۱,۴
۱۹۴۸/۸/۳۱	دشت بیاض	۷,۴	۸۰	۲,۱
۱۹۷۸/۹/۱۶	طبس	۷,۷	۷۵	۰,۷
۱۹۷۹/۱۱/۱۴	گریزان. خاف	۶,۶	۱۷	۰,۶
۱۹۷۹/۱۱/۲۷	کلولی، بیستاناباد	۷,۱	۶۵	۳,۸

مروری بر استانداردهای طراحی در زمینه‌ی تونل نشان می‌دهد که به دلیل عدم شناخت کافی مسئله، فقط توصیه به پرهیز عبور تونل از این نواحی دارد.<sup>[۱۴، ۱۳، ۹]</sup> طراحی پوشش دائمی تونل در محل تقاطع با گسل، چالش‌های زیادی به همراه دارد. شناخت مکانیزم‌های خرابی می‌تواند زمینه‌یی برای شناخت بهتر رفتار برای طراحی تونل باشد. در پژوهش حاضر سعی شده است که ضمن معرفی مدل‌سازی پدیده‌ی گسل‌زemin و تونل قطعه‌یی حفرشده در خاک، مکانیزم خرابی این تونل‌ها در گسلش عادی و معکوس مقایسه شوند. برای این منظور از مدل‌سازی فیزیکی در ساترینیمیوز ژوتکنیکی استفاده شده است. نتایج تعدادی از آزمایش‌های گسلش شبیه‌گذاری و معکوس با تونل قطعه‌یی ارائه و نتایج مشاهده شده، تشریح و مقایسه

یکی از روش‌های حفاری تونل، روش حفاری تمام مقطع‌بامашین حفار، اصطلاحاً روش حفاری تمام مکانیزه<sup>۱۶</sup> است. پوشش دائم در روش حفاری مکانیزه، اصطلاحاً پوشش سگمنتال نامیده می‌شود. پوشش سگمنتال از قطعات بتقی پیش‌ساخته تشکیل شده است. به لحاظ هندسی و نحوه کناره‌های قرارگرفتن آن‌ها جهت تشکیل یک حلقه‌ی کامل قطعه‌یی به سیستم‌های چیدمان مستطیلی، ذوزنقه‌یی، لوزی‌شکل، متوازی‌الاضلاع، و شش ضلعی تقسیم‌بندی می‌شوند. پوشش‌های قطعه‌یی به صورت حلقة‌حلقه احرا می‌شوند.

۳. روش مطالعه

در پژوهش حاضر، پدیده‌ی گسلش زمین و اثر آن در تونل قطعه‌یی در دستگاه سانتریفیوژ ژئوتکنیکی مدل‌سازی شده است. مقایسه‌ی رفتار تونل‌های قطعه‌یی در گسلش معکوس و عادی با استفاده از مدل‌سازی فیزیکی در سانتریفیوژ ژئوتکنیکی به طور ویژه در نوشتار حاضر مورد بررسی قرار گرفته است. هدف اصلی از این مدل‌سازی درک و شناخت مکانیسم‌های گسیختگی در دو گسلش معکوس و عادی بوده است. استخراج این مکانیسم‌ها به همراه مطالعه‌ی برخی پارامترهای تأثیرگذار از قبیل سربار تونل می‌تواند در طراحی پوشش قطعه‌یی مفید واقع شود. لذا سعی بر آن بوده است که قطر و ضخامت لاینینگ تونل مدل نزدیک به قطر متداول در تونل‌های دولقی مترو انتخاب شود. برای انجام آزمایش‌های پژوهش حاضر، جعبه‌ی شبیه‌ساز ویژه‌ی طراحی و ساخته شده است. نوع طراحی جعبه به‌گونه‌یی بوده است که بتوان

جدول ۳. روابط تشابه ابعادی هندسی پژوهش.

مدل واقعی	میران	نسبت میران	پارامتر	تشابه	مدل کوچک مقیاس
ابعاد محیط خاکی	۲۰ سانتی متر	۲۰ × ۲۵ × ۳۵ متر	N	۵۰	۴۰ × ۵۰ × ۷۰ سانتی متر
طول مدل شده از تونل	۳۵ متر	۳۵ متر	N	۵۰	۷۰ سانتی متر
قطر خارجی	۱۱/۸ سانتی متر	۱۱/۸ سانتی متر	N	۵۰	۵/۹ متر
قطر داخلی	۱۰ سانتی متر	۱۰ سانتی متر	N	۵۰	۵ متر
ضخامت سگمنت	۹ میلی متر	۹ میلی متر	N	۵۰	۳۵ سانتی متر
عرض سگمنت‌ها	۲۳ میلی متر	۲۳ میلی متر	N	۵۰	۱۱۵ سانتی متر

جدول ۴. مشخصات فیزیکی و مکانیکی ماسه‌ی مورد استفاده.

نام ماسه	نام ماسه‌ی ۱۶۱ فیروزکوه
$G_s$	۲/۶۵۸
$e_{max}$	۰/۸۷۴
$e_{min}$	۰/۵۴۸
$D_50$ (mm)	۰/۲۷۰
%FC	۰
$\Phi$	۳۷ درجه (برای ماسه‌ی مرطوب)
C	۰



شکل ۷. سگمنت مدل سازی شده و تونل ساخته شده از لوله‌ی آربست - سیمانی.

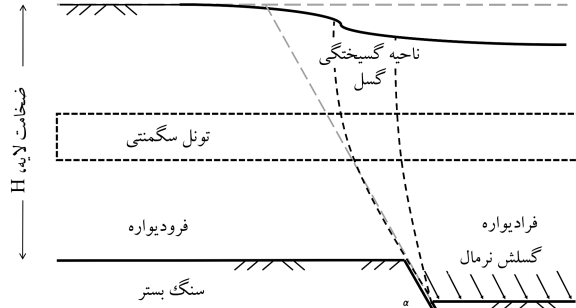
مورداستفاده شده است. ضخامت تعیین شده براساس روابط تشابه برای تونل مدل کمتر از ضخامت لوله‌های تولیدی بوده است، لذا با انجام عملیات تراش کاری از ضخامت لوله‌ها کاسته و با برش کاری و سوراخ کاری به ۶ قطعه (سگمنت) جهت ایجاد حلقه‌های تونل مدل تبدیل شده است. شکل ۷، یک حلقه‌ی کامل و یک سگمنت مدل استفاده شده را با اجراء مشخص نشان می‌دهد.

برای تمامی آزمایش‌ها از خاک با تراکم ۶۰٪ استفاده شده است. روش ساخت مدل با استفاده از روش تراکم مرطوب (رطوبت ۵٪) است. تشریح جزئیات مدل سازی و روش ساخت نمونه و ابزاربندی مدل در نوشتار دیگری از پژوهشگران پژوهش حاضر ارائه شده است.<sup>[۲]</sup>

شکل ۸، تصویر مدل ساخته شده را که بر روی سبد سانتریفیوژ قرار گرفته است، نشان می‌دهد.

### ۱.۳. مدل سازی تکیه‌گاهها

با توجه به محدودیت فضای داخلی جعبه‌ی شبیه‌ساز گسلش برای مدل سازی تونل در طول (بیشینه‌ی طول تونل مدل ۷۰ سانتی متر هست)، قبل از انجام آزمایش‌ها براساس فرضیات مهندسی و تجربه‌ی آزمایشگاهی پژوهشگران، برای مدل سازی



شکل ۶. تصویر شماتیک مدل در گسلش عادی.

طول نمونه‌ی کوچک مقیاس با مقیاس واقعی است. این ضرایب در جدول ۲ ارائه شده‌اند. این مسئله، لزوم توجه به انتخاب مصالح مناسب برای پوشش تونل را در مدل کوچک مقیاس نشان می‌دهد. کاهش ابعاد هندسی مدل واقعی، لزوماً امکان مدل سازی را مهیا نمی‌سازد، لذا می‌توان با تغییر جنس مصالح مدل، مدل سازی منطبق با قوانین مقیاس را انجام داد. به علت اعمال مرحله‌ی جابه‌جایی و سرعت اندک آن، آثار اینرسی می‌تواند قابل قبول پوشش باشد. جزئیات ابعاد و مصالح استفاده شده برای پوشش تونل در بخش ساخت مدل ارائه شده است. جدول ۳، جزئیات ابعاد و معادل واقعی آن در پژوهش حاضر را نشان می‌دهد. با توجه به محدودیت ابعاد مخزن برای مدل سازی طول تونل، از تکیه‌گاه‌های ویژه‌ی استفاده شده است، که تأثیر طول محدود تونل در مدل به میران کمیته بررسد.

از ماسه‌ی فیروزکوه شماره‌ی ۱۶۱، برای مدل سازی خاک مخزن استفاده شده است. مشخصات فیزیکی و مکانیکی این ماسه در جدول ۴ ذکر شده است. با توجه به تأثیر اندازه‌ی دانه‌ها در نتایج مدل سازی با سانتریفیوژ با توجه به کاتالوگ راهنمای ارائه شده از طرف کمیته‌ی فنی مدل سازی فیزیکی انجمن بین‌المللی زئوتکنیک در خصوص قوانین شبیه‌سازی باید رابطه‌ی ۱ رعایت شود:

$$(1) \quad B_t/d_5 > 175$$

که در آن،  $B_t$  قطر تونل مدل و  $d_5$  قطر دانه‌ی است، که ۵۰٪ وزنی خاک از این قطر کوچک‌تر باشند. نظر به اینکه در آزمایش‌های پژوهش حاضر، کمیته‌ی قطر مورد استفاده برای تونل ۱۰ سانتی متر بوده است، لذا رابطه‌ی ۱ در پژوهش حاضر اراضاء شده است.

برای مدل سازی تونل از لوله‌های آربست سیمانی از بست سیمانی تحت فشار استفاده شده است. این لوله‌ها مدول کشسانی حدود ۲۰ گیگاپاسکال دارند. این در حالی است که مدول کشسانی بتن مسلح برای تونل‌های قطعه‌ی بی معمولاً در حدود ۳۴ گیگاپاسکال در طراحی لحاظ می‌شود. این لوله‌ها طبق استانداردهای ملی و بین‌المللی در کارخانه‌های مختلف تولید می‌شوند. این موضوع باعث اطمینان از یکنواختی مصالح

جدول ۲. روابط تشابه ابعادی مورد استفاده.

پارامتر	نسبت تشابه	میران تشابه
۵۰	N	طول
۱	۱	چگالی
۱	۱	کرنش
۵۰	N	جابه‌جایی
۵۰٪	N٪	سختی خمی
۵۰٪	N٪	سختی محوری

شکست و جایه‌جایی‌های سطحی رخداده در اثر گسلش، جزء اصلی ترین هدف‌های پژوهش حاضر است، لذا از حس‌گرهای جایه‌جایی در پژوهش حاضر استفاده شده است، که در شکل ۵ محل قرارگیری آن‌ها نشان داده شده است. یکی از حس‌گرهای استفاده شده، حس‌گر تغییر مکان سنج برای سنجش جایه‌جایی قائم سطح زمین در طول تونل است، که با توجه به نوع آزمایش ۱ یا ۲ عدد از آن‌ها مورد استفاده قرار گرفته است. این حس‌گرها میزان جایه‌جایی اختلافی قائم دو صفحه‌ی گسل که به سطح زمین رسیده است، را اندازه می‌گیرند.

برای مشاهده‌ی کیفی تغییر شکل داخل تونل و همچنین مشاهده‌ی شکست‌های رخداده یا هرگونه پدیده‌ی دیگر در داخل تونل و همچنین به دلیل عدم امکان مشاهده‌ی داخل آن از یک دستگاه دوربین فیلم‌برداری با کیفیت بالا استفاده شده است، که در یکی از نقاط انتهایی تونل تعییه شده است.

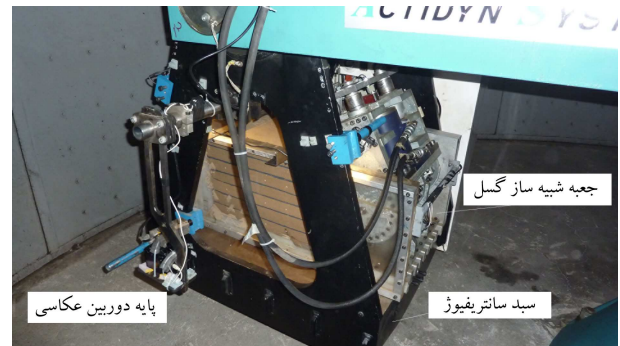
همچنین برای مشاهده‌ی نحوه‌ی توسعه‌ی گسلش درون خاک و مشاهده‌ی جایه‌جایی‌های سطح زمین، در بیرون از مخزن خاک محل ویژه‌ی برای نصب دوربین عکاسی با کیفیت بالا تعییه شده است، که می‌تواند از دیواره‌ی پلاکسی گلاس تصاویر مناسبی تهیه کند. برای اینکه مشاهده‌ی تغییر شکل‌ها درون خاک راحت‌تر صورت پذیرد، از لایه‌های ماسه‌ی رنگی به صورت افقی و به فواصل ۶ سانتی‌متر از هم استفاده شده است. این لایه‌ها موضعی شدن کرنش و همچنین مسیر عبور گسل را به راحتی نمایان می‌کنند. دوربین عکاسی کانن G7 با کیفیت تصاویر ۱۰ مگاپیکسل برای این امر مورد استفاده قرار گرفته است. با توجه به استفاده از قطعات الکترونیکی در دوربین‌ها، بسیاری از آن‌ها در شتاب‌های بالاتر از ۱۰ g کارکرد خود را از دست می‌دهند و فقط دوربین‌های خاصی برای عکس‌برداری در چنین شرایطی مناسب هستند. دوربین فوق پس از جست‌وجوهای جامع انتخاب و آزمایش شده و پس از اطمینان از عملکرد در آزمایش‌های اصلی مورد استفاده قرار گرفته است.

### ۳. برنامه‌ی آزمایش‌ها

نوشتار حاضر، براساس نتایج حاصل از ۴ آزمایش سانتریفیوژ در گسلش عادی و ۴ آزمایش در گسلش معکوس ارائه شده است. در این آزمایش‌ها از سربارهای مختلف ۱، ۰، ۰، ۷۵ و ۱، ۰، ۷۵ برابر قطر خارجی تونل در زاویه‌ی گسلش ۶۰ درجه استفاده و دو آزمایش با شرایط میدان آزاد (گسلش معکوس و عادی با حذف سازه‌ی تونل) انجام شده است. در جدول ۵، مشخصات کامل آزمایش‌ها ارائه شده است.

### جدول ۵. مشخصات آزمایش‌های مورد استفاده در مساله حاضر.

سریار	زاویه‌ی گسلش (درجه)	نوع گسلش	شماره‌ی آزمایش
۰، ۷۵D	۶۰	عادی	۱
۱D	۶۰	عادی	۲
۱/۲D	۶۰	عادی	۳
میدان آزاد	۶۰	عادی	۴
۰، ۷۵D	۶۰	معکوس	۵
۱D	۶۰	معکوس	۶
۱/۲D	۶۰	معکوس	۷
میدان آزاد	۶۰	معکوس	۸



شکل ۸. تصویر سبد سانتریفیوژ مدل به همراه پایه‌ی طراحی شده برای دوربین عکاسی و جعبه‌ی گسلش.



شکل ۹. تصاویر تکیه‌گاه تونل و نحوه‌ی قرارگیری آن در جعبه‌ی شبیه‌ساز گسل.

اثر طول نامحدود تونل، تکیه‌گاه خاصی طراحی و استفاده شده است، که هدف اصلی استفاده از آن، مدل‌کردن طول بیشتری از تونل در مخزن گسلش بوده است. گردار بودن کامل تکیه‌گاه باعث شده است که تونل در آن نقطه هیچ‌گونه نشست و یا دورانی نداشته باشد. این تکیه‌گاه‌ها از دو بخش فلزی صلب و لاستیکی تشکیل شده‌اند. قطعه‌ی لاستیکی، ابتدا تونل را به صورت غشایی در بر می‌گیرد و سپس در درون بخش فلزی تکیه‌گاه قرار داده می‌شود. مجموعه‌ی کامل شده به دیواره‌ی صلب جعبه‌ی شبیه‌ساز گسل توسط پیچ و مهره متصل می‌شود. نقش قسمت لاستیکی تکیه‌گاه، ایجاد امکان دوران برای تونل و جایه‌جایی در راستای قائم و افقی است. جنس آن از پلی اورتان فشرده بوده و ضخامت آن در لبه‌ی بیرونی ۵ میلی‌متر و قطر داخلی آن معادل قطر خارجی تونل است. لازم به ذکر است که این قطعه یک پارچه بوده و به روش تراشکاری تولید شده است. شکل ۹، تصاویر مربوط به تکیه‌گاه‌ها را نشان می‌دهد. لازم به ذکر است پس از انجام چند آزمایش اولیه مشخص شده است که تأثیر تکیه‌گاه در نتایج محسوس نیست و پس از انجام آزمایش‌های مشابه بدون حضور تکیه‌گاه به ویژه در گسلش عادی مشخص شده است که حذف تکیه‌گاه در نتایج تأثیر به سزایی ندارد. شاید دلیل اصلی موضوع نرمی سازه‌ی تونل قطعه‌ی بی‌نیروهای وارد به تکیه‌گاه‌ها منتقل نشده است.

### ۲.۰.۳ ابزار بندی

با توجه به اینکه رفتار تغییر شکلی مقطع تونل، مودهای تغییر شکل طولی تونل، مکانیزم

#### ۴. تشریح نتایج

برای مقایسه بیتر رفتار تونل های قطعه بی در مواجهه با گسلش عادی و معکوس، نتایج حاصل از آزمایش ها از منظر مکانیسم های گسیختگی مشاهده شده بررسی شده است. در بررسی مکانیسم های گسیختگی مقطع تونل، پروفیل تغییر شکل طولی تونل و وضعیت گسلش در سطح زمین مقایسه شده اند. تأثیر افزایش سرگار تونل نیز در هر دو گسلش عادی و معکوس نیز بررسی و کارا شده است.

#### ۱.۴. مکانیسم های گسیختگی

شناخت مکانیسم های گسیختگی محتمل ناشی از مواجهه ی گسل و تونل قطعه بی برای طراحی بهینه تونل بسیار کمک می کند. به طور کلی در مواجهه ی تونل و گسل از ۲ منظر می توان گسیختگی ها را مورد بررسی قرار داد. گسیختگی در تونل (مقطع طولی و عرضی تونل) و گسیختگی در سطح زمین (ناشی از رسیدن گسل به سطح زمین و ایجاد فروچاله در سطح).

#### ۱.۱.۴. بررسی تغییر شکل در مقطع تونل

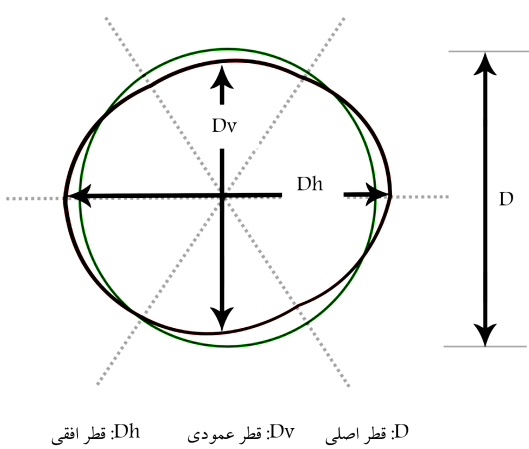
با بررسی حلقه های قطعه بی قرار گرفته در محدوده ی گسلش عادی مشاهده شده است که بیضی شدگی دائمی در حلقه های مزبور رخ داده است (شکل ۱۰). شکل مذکور از روی هم قرار دادن ۲ تصویر مقطع تونل قبل از اعمال گسلش و پس از آن بر روی هم ترسیم شده است. بیضی شدگی در مقطع تونل با کاهش ارتفاع و افزایش عرض آن همراه بوده است. انرژی گسلش با تغییر شکل بسیار زیاد حلقه ها نسبت به یکدیگر و سگمنت های درون هر حلقه توسط تونل جذب شده است.

این بیضی شدگی توسط تصاویر تهیه شده از دوربین داخل تونل در حین گسلش ثبت شده است، که در شکل ۱۱ مشاهده می شود. البته در شکل مذکور ایجاد این بیضی شدگی چندان قابل مشاهده نیست و از بررسی همزمان تصاویر در رایانه می توان به واضح به وجود این بیضی شدگی پی برد. با افزایش مقدار گسلش، بیضی شدگی در تونل ایجاد و سپس با جدا شدن گسلش حلقه های قطعه بی از یکدیگر ریزش خاک داخل تونل رخ داده است.

شکل ۱۲، نحوه تغییر شکل مقطع تونل را به ازاء افزایش جابه جایی گسل معکوس نشان می دهد. با افزایش جابه جایی، تغییر شکل در مقطع تونل اتفاق می افتد. برخلاف رخدادی که در گسلش عادی می افتد، به دلیل ماهیت فشاری گسلش معکوس، بازشدگی بین حلقه های سگمنت اتفاق نیافتد است. لذا هیچ گونه ریزش خاک به درون تونل مشاهده نمی شود. در آزمایش های انجام شده در گسلش عادی و معکوس، بیشینه مقدار گسلش وارد یکسان انتخاب شده است. مقایسه رفتار تونل قطعه بی در مواجهه با گسلش عادی و معکوس نشان می دهد که تغییر شکل در مقطع تونل در گسلش عادی به مراتب بیشتر از گسلش معکوس است، لذا می توان این گونه نتیجه گرفت که به دلیل ماهیت فشاری گسلش معکوس، رفتار تونل قطعه بی در مواجهه با گسلش معکوس بهتر است.

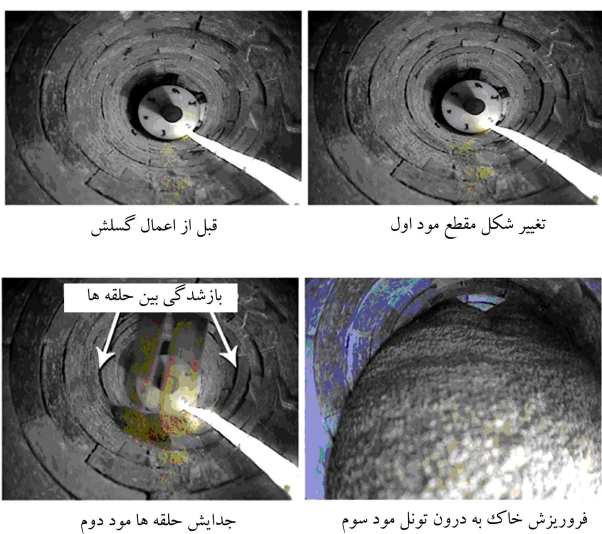
#### ۲.۱.۴. مود تغییر شکل طولی تونل

یک دیگر از نتایج حاصل از آزمایش ها شناخت مود خرابی طولی در تونل های قطعه بی است. در هر دو آزمایش گسلش معکوس و عادی، تغییر شکل طولی در تونل رخ می دهد، که الگوی این تغییر شکل در گسل عادی در شکل ۱۳ و در گسلش معکوس در شکل ۱۴ ارائه شده است. همان طور که در تصاویر مشخص است، الگوی تغییر شکل به طور کلی شکل S است. بازشدگی بین سگمنت ها در گسلش معکوس بسیار کمتر از گسلش عادی بوده است. حلقه های تغییر شکل یافته



D: قطر اصلی Dv: قطر عمودی Dh: قطر افقی

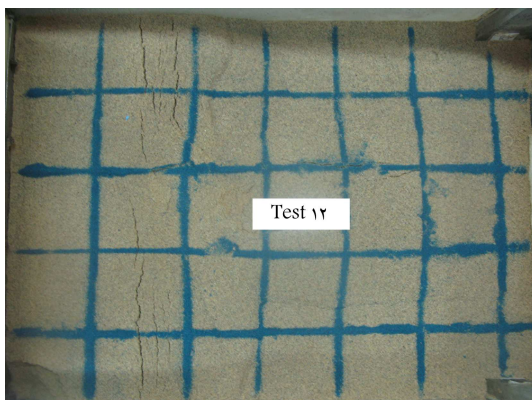
شکل ۱۰. بیضی شدگی در مقطع بحرانی تونل بعد از اعمال گسلش عادی.



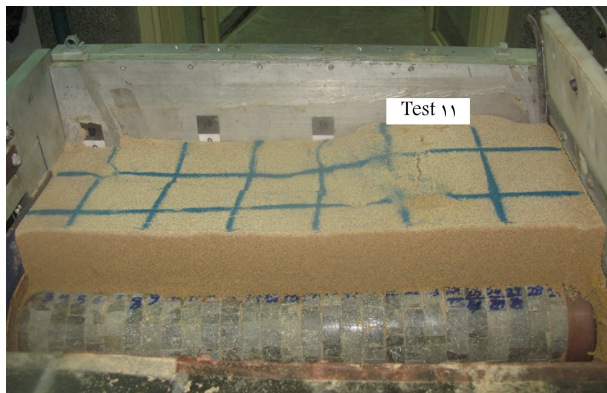
شکل ۱۱. تصاویر مقطع داخلی تونل و مودهای تغییر شکل تونل در گسلش عادی با افزایش جابه جایی گسل.



شکل ۱۲. تصاویر مقطع داخلی تونل و تغییر شکل تونل در گسلش معکوس با افزایش جابه جایی گسل.



شکل ۱۵. ایجاد ترک در سطح زمین در سمت فرادیواره در اثر گسلش معکوس.



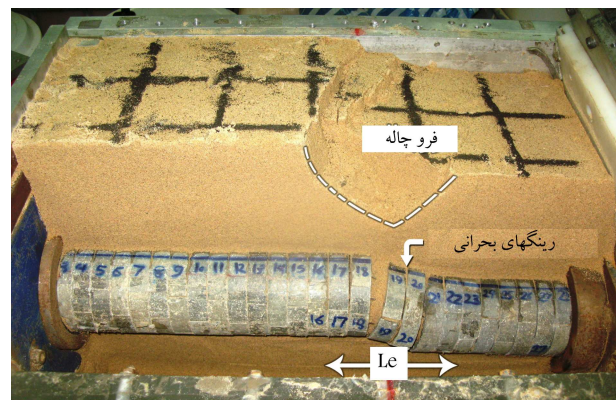
شکل ۱۶. تصویر سطح زمین در گسلش معکوس - روباره  $D = 75D$ .

جدول ۶. نتایج حاصل از آزمایش‌های گسلش عادی.

شماره‌ی آزمایش (PGD <sub>f</sub> )	طول و عرض فروچاله	h/D	نام
۰,۵	$1,75D \times 1,5D$	۰,۷۵	۱۰
۰,۷	$1,65D \times 1,4D$	۱	۳۲
۰,۸	$1,5D \times 1,3D$	۱,۲	۱۷

این پدیده و با توجه به سطحی بودن تونل‌های شهری و همچنین دانه‌ی بودن خاک مورداستفاده در عین داشتن چسبندگی کمیه‌ی بی به دلیل وجود رطوبت بین دانه‌ی، پدیده‌ی قوس‌زدگی نمی‌تواند مانع از نرسیدن حفره‌ی ایجادشده در بالای تونل به سطح زمین شده و لذا فروچاله در سطح زمین به وجود می‌آید. وقوع چنین پدیده‌ی خود حاکی از اهمیت بررسی آن به دلیل احتمال آسیب به سازه‌های روزمری و در مجاورت محل عبور تونل است. جدول ۶، مقدار جابه‌جایی گسل در راستای قائم (PGD<sub>f</sub>) را برای فروبریز کلی و هجوم خاک به درون تونل و در نتیجه‌ی آن، ایجاد فروچاله در سطح زمین را به ازاء سربارهای مختلف نشان می‌دهد. لازم به ذکر است که مقادیر PGD<sub>f</sub> از طریق بررسی فیلم تهیه شده از داخل تونل و پس از رسیدن دستگاه سانتریفیوژ به شتاب مورد نظر ( $g = 50$ ) گزارش شده‌اند. داده‌ها نشان می‌دهند که با افزایش سربار تونل، میزان جابه‌جایی موردنیاز برای فروبریز کلی در تونل افزایش یافته است. این مسئله نشان می‌دهد که افزایش نتش مؤثر باعث افزایش سختی سیستم سازه‌ی تونل و خاک و در نتیجه مقاومت بیشتر آن در برابر جابه‌جایی‌های وارد شده است.

براساس نتایج جدول ۶ با افزایش سربار ابعاد چاله‌ی ایجادشده در سطح زمین نیز کاهش پیدا می‌کند. دلیل این امر آن است که میزان خاک وارد شده به داخل تونل



شکل ۱۳. تغییرشکل طولی تونل و فروچاله در سطح زمین در گسلش عادی.



شکل ۱۴. تغییرشکل طولی تونل قطعه‌بی در گسلش معکوس.

در گسلش عادی بیشتر در فرادیواره‌ی گسل واقع شده است، در حالی که در گسلش معکوس اغلب حلقه‌های تغییرشکل یافته در فردیواره‌ی گسل واقع شده‌اند (شکل ۱۴).

#### ۴.۳. بررسی رخمنون گسل در سطح زمین

همان‌طور که در شکل ۱۱ مشخص است، پس از اعمال گسلش عادی و بازشدگی حلقه‌های سگمنت، به دلیل ماهیت کششی گسلش عادی، ریزش ماسه به درون تونل اتفاق افتاده است، که این موضوع با توجه به سطحی بودن تونل‌های مورد مطالعه تا سطح زمین ادامه یافته و باعث ایجاد فروچاله در سطح آن شده است، که در بخش ۲.۴. به آن اشاره خواهد شد. با توجه به تهیه‌ی فیلم از داخل تونل در حین گسلش مشخص شده است که ریزش داخل تونل ناگهانی نبوده و بازشدگی در حلقه‌های قطعه‌بی تونل پس از تحمل مقداری از گسل اتفاق افتاده است. در گسل معکوس فقط ترک‌هایی در سطح زمین در سمت فرادیواره مشاهده شده است (شکل‌های ۱۵ و ۱۶). همان‌طور که اشاره شده است، پله‌شدگی سطح زمین در گسلش عادی به مراتب بیشتر از گسلش معکوس است. به عبارت دیگر، جابه‌جایی دو سطح گسل در حالت معکوس در سطح وسیع‌تری از زمین توسعه پیدا کرده است.

#### ۴.۴. فروریزش در تونل و ایجاد فروچاله در سطح زمین

همان‌طور که اشاره شده است، به دلیل ماهیت کششی گسلش عادی، جدایش حلقه‌های سگمنت از یکدیگر به ازاء افزایش لغزش گسل باعث ایجاد شرایطی می‌شود که خاک بالای تونل به داخل وارد و باعث مسدود شدن آن شود. به دنبال

جدول ۷. مقادیر Le برای آزمایش‌ها.

شماره‌ی آزمایش	سر بر ا به قطر (Le)
۱/۶D	۰,۷۵
۱/۲D	۱
۰,۸D	۱/۲
	۱۰
	۳۲
	۱۷

## ۵. نتیجه‌گیری

- در این پژوهش مدل سازی گسلش عادی و معکوس و تونل قطعه‌یی حفر شده در خاک با استفاده از دستگاه سانتریفیوژ با موفقیت آزمایش ارائه شده است.
- براساس نتایج حاصل از پژوهش حاضر عملکرد تونل‌های قطعه‌یی حفر شده در خاک در برابر گسلش معکوس به دلیل ماهیت خراپی در آن‌ها به مراتب بهتر از گسلش عادی است.
- مکانیسم گسیختگی تونل قطعه‌یی در گسلش عادی کشنی بوده است و خرابی به دلیل بازشدن حلقه‌های قطعه‌یی از یکدیگر اتفاق می‌افتد.
- خرابی در تونل‌های قطعه‌یی ناشی از گسلش عادی ناگهانی نیست و پوشش تونل توانایی تحمل بخشی از گسلش را بدون خرابی و ریزش خاک به درون تونل دارد. این مقدار تحمل گسل توسط پوشش تونل با افزایش سربار افزایش پیدا می‌کند. به عبارت دیگر، عملکرد تونل‌های قطعه‌یی در مواجهه با گسلش عادی با افزایش سربار بهبود می‌یابد.
- محدوده‌یی متأثر از گسلش عادی در تونل قطعه‌یی (Le) با افزایش سربار کاهش یافته است.
- در یک مقدار جابه‌جاگی مشخص، در گسلش عادی طول کمتری از تونل تحت تأثیر مستقیم گسلش قرار گرفته است. این مسئله با میزان عرض باند بررسی ایجاد شده در خاک نیز قابل توجیه است، چراکه در گسلش معکوس عرض باند بررسی شکل گرفته در خاک به مراتب بیشتر از گسلش عادی است.
- در حالت گسلش عادی مشاهده می‌شود که گسل در سطح زمین تغییر شکل موضوعی ایجاد می‌کند، اما در حالت گسلش معکوس پروفیل یکنواخت مشاهده می‌شود.

## تقدیر و تشکر

از گروه تخصصی قائم به جهت حمایت مالی از این پژوهش تشکر و قدردانی می‌شود. از آقایان مهندس احمدی، سلیمانی، هدایتی، و مهدوی بابت مساعدت در انجام آزمایش‌ها تشکر و قدردانی می‌شود.

در اثر بازشدگی حلقه‌های سگمنت تقریباً در آزمایش‌های مختلف ثابت است و در نتیجه با افزایش سربار، بعد چاله باید کاهش پیدا کند.

## ۴. بررسی تأثیر افزایش سربار تونل

بررسی نتایج ۳ آزمایش گسلش عادی با روباره‌های مختلف ارائه شده در جدول ۶ حاکی از یک روند منطقی در داده‌های به دست آمده از آزمایش‌های است. این مقادیر به‌وضوح نشان‌گر آن است که با افزایش سربار تونل، مقدار جابه‌جاگی‌های گسل تا رسیدن به فروریزش درون تونل (PGD<sub>f</sub>) بیشتر شده است. دلیل مشاهده‌یی چنین بدیده‌یی را می‌توان افزایش تنش همه‌جانبه‌ی خاک با افزایش عمق عنوان کرد. به دلیل افزایش تنش همه‌جانبه‌ی خاک تونل را همچون غشایی در بر می‌گیرد و در نتیجه سختی آن را افزایش می‌دهد. این مسئله خود باعث کاهش جابه‌جاگی‌های نسبی تونل نسبت به خاک می‌شود و بازشدگی سگمنت‌ها از یکدیگر با آهنگ کنتری اتفاق می‌افتد. از نتایج این آزمایش‌ها می‌توان این‌گونه نتیجه گرفت که در منطقی که احتمال خطر گسلش وجود دارد، هر چه عمق احداث تونل افزایش پیدا کند، شاهد عملکرد بهتری از آن در برابر گسلش‌های عادی احتمالی خواهیم بود. البته این موضوع با نوع کاربری تونل ارتباط مستقیم دارد. در تونل‌های ریلی اگر مقدار جابه‌جاگی در طول بیشتری از تونل اتفاق بیفتد، امکان بازسازی و تعمیر تونل جهت بهره‌برداری مجدد به مراتب سهل‌تر خواهد بود.

با بررسی تصاویر مقاطع طولی تونل در گسلش عادی، که نمونه‌ی آنها در شکل ۱۲ نمایش داده شده است، در آزمایش‌های مختلف می‌توان این‌چنین تحلیل کرد که با افزایش سربار گسلش در محل تقاطع گسل و تونل متمرکز شده است. در این راستا پارامتری به عنوان نسبت طول متأثر تونل از گسلش به قطر خارجی تونل (Le) تعریف شده است. مقادیر این پارامتر در آزمایش‌های مختلف در جدول ۷ ارائه شده است. با افزایش سربار مقدار پارامتر Le کاهش یافته است. به عبارتی با افزایش سربار تعداد حلقه‌های کمتری از تونل در گیر گسلش شده‌اند. این طول براساس جداشدنگی حلقه‌های سگمنت از یکدیگر و پس از برش خاک در امتداد طولی و به صورت بصری تعیین می‌شود. این طول تمامی حلقه‌هایی را در بر می‌گیرد که در اثر گسلش، دچار تغییر شکل هر چند به اندازه‌ی ناچیزی شده باشند. بخش اعظم این طول در ناحیه‌ی فرادیواره قرار می‌گیرد. این در حالی است که حلقه‌های واقع در بخش فرودیواره تقریباً هیچ‌گونه تغییر شکل ویژه‌یی را متحمل نشده‌اند. همان‌گونه که مشخص است، با افزایش سربار مقدار Le کاهش پیدا کرده است، که این موضوع ناشی از موضعی شدن بیشتر کرنش بررسی در این آزمایش‌هاست. همین امر باعث افزایش شدت خراپی در سگمنت‌های بحرانی شده است. با افزایش سربار در آزمایش‌های گسلش معکوس، تغییرات عمده‌یی مشابه آنچه در گسلش عادی وجود دارد، مشاهده نشده است.

## پانوشت‌ها

- foot wall
- Toyoura and Nevada

## منابع (References)

- NIBS
- San Francisco
- San Andreas
- San Fernando
- Kobe
- Nojima
- hanging wall

- Kiani, M., Aminfar, M. and Darvishi, M. "Design criteria for segmental concrete lining in mechanized tunneling",

- in *7th Iran Tunnel Conference*, Tehran, Iran (2008).
2. Kiani, M., Ghalandarzadeh, A. and Akhlaghi, T. "Physical modelling of segmental tunnel interaction with 60° normal fault in geotechnical centrifuge", in *10th Iranian Tunelling Conference*, Tehran, Iran (2013).
3. Anastasopoulos, I., Callero, A., Bransby, M.F., Davies, M.C.R., El Nahas, A., Faccioli, E., Gazetas, G., Masella, A., Paolucci, R., Pecker, A. and Rossignol, E. "Numerical analyses of fault–foundation interaction", *Bulletin Earthquake Eng.*, **6**(4), pp. 645-675 (2008).
4. Anastasopoulos, I. and Gazetas, G. "Foundation–structure systems over a rupturing normal fault: Part II. Analysis of the Kocaeli case histories", *Bulletin Earthquake Eng.*, **5**(3), pp. 277-301 (2007).
5. Anastasopoulos, I., Gazetas, G., Bransby, M.F., Davies, M.C.R. and Nahas, A.A.E. "Fault rupture propagation through sand: Finite-element analysis and validation through centrifuge experiments", *Jornal of Geotechnical and Geoenvironmental Engineering*, **113**(8), pp. 943-958 (2007).
6. Anastasopoulos, I.G.G. "Foundation-structure systems over a rupturing normal fault: Part I. Observations after the Kocaeli 1999 earthquake", *Bulletin Earthquake Eng.*, **5**(3), pp. 253-275 (2007).
7. Beitollahi, A., Donya-e-Eqtesad Newspaper (24 October 2012) [Online]. Available: [www.donya-e-eqtesad.com/Default\\_view.asp?@=324990](http://www.donya-e-eqtesad.com/Default_view.asp?@=324990).
8. *Technical Manual, Chapter 7, Direct Physical Damage to Transportation Systems*, FEMA, Department of Homeland Security, Washington D.C. (1999).
9. Kontogianni, V.S.S. "Earthquakes and seismic faulting: Effects on tunnels", *Turkish J. Earth. Sci.*, **12**, pp. 153-156 (2003).
10. Wang, Z.Z., Zhang, Z. and Gao, B. "The seismic behavior of the tunnel across active fault", 15 WCEE, LIS-BOA, 7 p. (2012).
11. Mueller, K. "Teaching structural geology", [Online]. Available: [http://geode.colorado.edu/~structure/teaching\\_GEOL3120/coursenotes/07Faults\\_and\\_faulting.pdf](http://geode.colorado.edu/~structure/teaching_GEOL3120/coursenotes/07Faults_and_faulting.pdf).
12. Eshghi, S., Zare, M., NaserAsadi, K., Seyed Reazaghi, M., Noor Ali, M., and Motamed, M., "Preliminary report of Bam earthquake", International Institute of Earthquake and Seismology, Tehran (2004).
13. Baziar, M.H., Nabizadeh, A., Lee, C.J. and Hung, W.Y. "Centrifuge modeling of interaction between reverse faulting and tunnel", *Soil Dyn. Earthq. Eng.*, **65**, pp. 151-164 (2014).
14. Loukidis, D., Bouckovalas, G.D. and Papadimitriou, A.G. "Analysis of fault rupture propagation through uniform soil cover", *Soil Dynamics and Earthquake Engineering*, **29**(11-12), pp. 1389-1404 (2009).
15. Vojoodi, M. "Earthquake effects on metro tunnels", In International Institute of Earthquake and Seismology, Tehran (2003).
16. Kiani, M. "Phesebiity study of usage steel fiber in production of concrete segments", in *11th Civil Students Conference*, Bandare Abbas, Iran (2004).
17. Muir Wood, D., *Geotechnical Modelling*, E&F Spon, London (2004).
18. Ng, C.W.W., Cai, Q.P. and Hu, P. "Centrifuge and numerical modeling of normal fault-rupture propagation in clay with and without a preexisting fracture", *J. Geotech. Geoenv. Eng.*, **138**(12), pp. 1492-1502 (2012).